

и 435, 585, 635 см<sup>-1</sup> (№ 4, 5) говорит о том, что в исследованных образцах имеются включения чужеродных фаз. В частности, дублет на частотах 585 и 635 см<sup>-1</sup> характерен для КРС в BaCuO<sub>2</sub>. В спектре КРС пленок (кривые 4, 5) присутствует также слабая линия на частоте 495 см<sup>-1</sup>, что указывает на наличие в них Tl<sub>2</sub>Ba<sub>2</sub>Ca<sub>n-1</sub>Cu<sub>n</sub>O<sub>2n+4</sub>. Парная линия 602 см<sup>-1</sup> не наблюдается из-за перекрывания с сильными линиями КРС BaCuO<sub>2</sub>.

Таким образом, данные по рентгеноспектральному анализу, КРС и температурам СП-переходов позволяют сделать вывод, что исследованные керамики в основном состоят из одноталлиевых соединений TlBa<sub>2</sub>Ca<sub>n-1</sub>Cu<sub>n</sub>O<sub>2n+3</sub>. Исследованные нами пленки обладают недостаточным структурным совершенством и наряду со сверхпроводящими фазами системы Tl—Ba—Ca—Cu—O содержат значительную долю чужеродной фазы BaCuO<sub>2</sub>.

### Список литературы

- [1] Sheng Z. Z., Hermann A. M. // Nature. 1988. V. 332. N 6159. P. 55—58.
- [2] Parkin S. S. P., Lee Y. Y., Engler E. M. et al. // Phys. Rev. Lett. 1988. V. 60. N 24. P. 2539—2542.
- [3] Wu P. T., Liu J. M., Liang J. M. et al. // Physica C. 1988. V. 156. N 1. P. 109—112.
- [4] Бойко Б. Б., Акимов А. И. и др. // Письма в ЖЭТФ. 1988. Т. 48. № 2. С. 103—105.
- [5] McCarty K. F., Ginley D. S., Boehme D. R. et al. // Sol. St. Comm. 1988. V. 68. N 1. P. 77—80.
- [6] Гаспаров Л. В., Кулаковский В. Д., Мисочко О. В. и др. // Письма в ЖЭТФ. 1989. Т. 49. № 1. С. 58—61.

Физико-технический институт  
им. А. Ф. Иоффе АН СССР  
Электротехнический институт  
им. В. И. Ульянова (Ленина)  
Ленинградский  
государственный университет  
НИИФ  
Ленинград

Поступило в Редакцию  
28 апреля 1989 г.

УДК 537.32 : 546

Физика твердого тела, том 31, в. 10, 1989  
Solid State Physics, vol. 31, N 10, 1989

## НОВЫЕ КОНДО-РЕШЕТКИ ТИПА CeM<sub>2</sub>X<sub>8</sub> (M=Fe, Co; X=Al, Ga)

M. D. Котерлин, B. С. Мороховский, P. B. Лапунова, O. M. Сичевич

С целью дальнейшего изучения закономерностей образования тонкой структуры плотности состояний в области уровня Ферми в соединениях с Ce измерены удельное электросопротивление  $\rho$ , термоэдс  $\alpha$  и магнитная восприимчивость  $\chi$  новых соединений типа CeM<sub>2</sub>X<sub>8</sub> (ромбическая сингония, пространственная группа Pbam [1] с M=Fe, Co; X=Al, Ga) и твердых растворов на их основе.

Подготовка образцов и методика их измерений аналогичны описаным в [2].

Для всех соединений, за исключением CeCo<sub>2</sub>Ga<sub>8</sub>, обнаружены максимумы на температурной зависимости магнитной составляющей сопротивления  $\rho_{Ce}$  (рис. 1), определяемой соотношением  $\rho_{Ce} = \rho$  (CeM<sub>2</sub>X<sub>8</sub>) —  $\rho$  (LaM<sub>2</sub>X<sub>8</sub>). Температурное положение максимума  $T_{\rho_{Ce\max}} \approx 40$  K (CeCo<sub>2</sub>Al<sub>8</sub>), 120 K (CeFe<sub>2</sub>Ga<sub>8</sub>), 150 K (CeFe<sub>2</sub>Al<sub>8</sub>). В случае CeCo<sub>2</sub>Ga<sub>8</sub> наблюдается обычный металлический ход  $\rho$  ( $T$ ) с аномально высоким остаточным сопротивлением ( $\rho_0 \approx 240$  мкОм·см).

Термоэдс соединений CeM<sub>2</sub>X<sub>8</sub> (кроме CeCo<sub>2</sub>Ga<sub>8</sub>) проявляет положительный максимум  $T_{\alpha\max} \approx T_{\rho_{Ce\max}}$  (рис. 2). Для их аналогов с La термо-

эдс отрицательны и принимают в области  $T_{\alpha_{\max}}$  значения  $\sim -5 \text{--} 8 \text{ мкВ/К}$ . В двухзонной модели систем с валентно нестабильным Ce [3] положительным максимумам  $\alpha_{\max}$  соответствуют пики плотности состояний  $\rho_f(E)$  шириной  $\Gamma \sim T_{\alpha_{\max}}$  в области уровня Ферми. Обычно значения  $T_{\alpha_{\max}} \geq 150 \text{ К}$  характерны для систем с промежуточной валент-

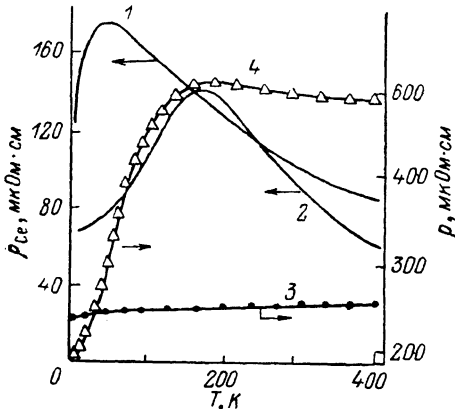


Рис. 1. Температурные зависимости магнитного вклада  $\rho_{Ce}$  для  $\text{CeM}_2\text{Al}_8$  ( $M=\text{Co}$  (1),  $\text{Fe}$  (2)) и общего удельного электросопротивления  $\text{CeM}_2\text{Ga}_8$  ( $M=\text{Co}$  (3),  $\text{Fe}$  (4)).

ностью (СПВ) Ce [2, 4]. Исследования твердых растворов с замещением Ce валентно стабильными редкоземельными элементами [3–5] показывают, что появление  $\alpha_{\max}$  вызвано локальными одноцентровыми эффектами рассеяния носителей заряда. При этом  $\alpha \sim T$  для  $T < T_{\alpha_{\max}}$  и  $\alpha \sim T^{-1}$  для  $T > T_{\alpha_{\max}}$  [3]. Отклонение от линейности  $\alpha$  в области  $T < 50 \text{ К}$  для  $\text{CeFe}_2\text{Al}_8$  и появление для  $\text{CeFe}_2\text{Ga}_8$  отрицательных значений термоэдс с  $\alpha_{\min} \approx -10 \text{ мкВ/К}$  обусловлены, по-видимому, образованием тонкой структуры пика  $\rho_f(E)$  когерентной природы. Например, в твердом растворе  $\text{La}_x\text{Ce}_{1-x}\text{Fe}_2\text{Ga}_8$   $\alpha_{\min}$  и инверсия знака  $\alpha$  уже не наблюдаются для состава  $x \approx 0.1$  при тех же значениях  $\alpha_{\max}$  и  $T_{\alpha_{\max}}$ .

Параметры  $\alpha_{\max}$  и  $T_{\alpha_{\max}}$  являются менее чувствительными к атомным

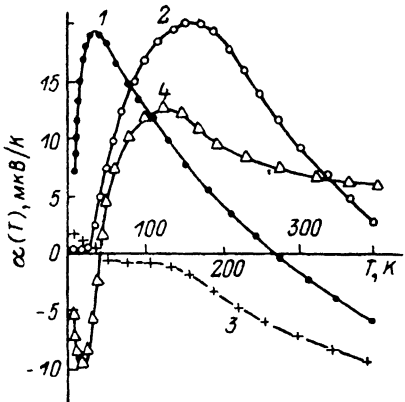


Рис. 2. Температурные зависимости термоэдс  $\vartheta(T)$  для  $\text{CeM}_2\text{Al}_8$  ( $M=\text{Co}$  (1),  $\text{Fe}$  (2)) и  $\text{CeM}_2\text{Ga}_8$  ( $M=\text{Co}$  (3),  $\text{Fe}$  (4)).

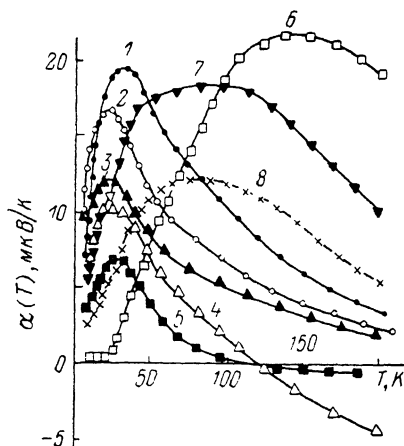


Рис. 3. Температурные зависимости термоэдс  $\text{CeCo}_2\text{Al}_{8-x}\text{Si}_x$  ( $x=0.0$  (1),  $0.4$  (2),  $0.7$  (3)),  $\text{CeCo}_{2-x}\text{Fe}_2\text{Al}_8$  ( $x=0.2$  (4),  $0.6$  (5)) и  $\text{CeFe}_{2-x}\text{Co}_2\text{Al}_8$  ( $x=0.0$  (6),  $0.4$  (7),  $0.6$  (8)).

замещениям, особенно в случае соединений с Co. В  $\text{La}_x\text{Ce}_{1-x}\text{Co}_2\text{Al}_8$  замещение Ce приводит к исчезновению максимума  $\rho_{Ce}$  при  $x \approx 0.5$  и уменьшению  $\alpha_{\max}$  на  $10 \text{ мкВ/К}$  при тех же значениях  $T_{\alpha_{\max}}$ . Исходя из атомных характеристик элементов, можно предполагать, что замещения  $\text{Co} \rightarrow \text{Fe}$  и  $\text{Al} \rightarrow \text{Si}$  влияют на положение уровня Ферми  $E_F$  и плотность зонных состояний  $N(E_F)$  в его области. Из рис. 3 видно, что  $\alpha_{\max}$  уменьшается при варьировании параметрами  $E_F$  и  $N(E_F)$ . Как и в случае замещения Ce  $\rightarrow$  La, изменений  $T_{\alpha_{\max}}$  в пределах больше 15 К не наблюдается. Однако в отличие от  $\text{La}_x\text{Ce}_{1-x}\text{Co}_2\text{Al}_8$   $T_{\rho_{Ce \max}}$  не зависит от состава. Со-

гласно [4, 5], устойчивость  $T_{\alpha_{max}}$  к таким атомным замещениям указывает на кондовское состояние Ce. Из приведенных данных следует, что в измеряемом интервале температур CeCo<sub>2</sub>Al<sub>8</sub> представляет собой немагнитную Кондо-решетку, в которой реализуется низкая энергия расщепления 4f-уровня кристаллическим полем  $\Delta$  при сравнительно высокой кондовской температуре  $T_K$ , причем  $T_K \geq \Delta$ . Разрушение корреляции между f-центрами существенно не влияет на кондовское состояние Ce.

Для растворов на основе CeFe<sub>2</sub>Al<sub>8</sub> характерна значительная чувствительность  $T_{\alpha_{max}}$  к составу. В случае CeFe<sub>2-x</sub>Co<sub>x</sub>Al<sub>8</sub> при  $x \approx 0.4$   $\alpha_{max}$  меньше на  $\sim 5$  мК/К, а сдвиг  $T_{\alpha_{max}}$  составляет  $\sim 70 \div 80$  К (рис. 3), что наблюдается обычно при переходе подрешетки Ce СПВ—Кондо-решетка [6].

Измерения  $\chi$  в интервале температур 78—300 К показывают, что отклонение от обычного трехвалентного состояния Ce проявляется только для соединения CeFe<sub>2</sub>Al<sub>8</sub>.

По совокупности данных в ряду соединений типа CeM<sub>2</sub>X<sub>8</sub> в зависимости от элементов M и X реализуются переходы от магнитного состояния Ce (CeCo<sub>2</sub>Ga<sub>8</sub>) к немагнитной Кондо-решетке (CaCo<sub>2</sub>Al<sub>8</sub>) и далее к системе с СПВ Ce (CeFe<sub>2</sub>Al<sub>8</sub>). В случае соединения CeFe<sub>2</sub>Ga<sub>8</sub> состояние Ce является, по-видимому, критическим в области перехода СПВ—Кондо-решетка и для него характерно особо четкое проявление когерентных эффектов на зависимостях  $\alpha(T)$ .

#### Список литературы

- [1] Сичевич О. М., Лапунова Р. В., Гринь Ю. Н., Ярмолюк Я. П. // Изв. АН СССР, металлы. 1985. № 6. С. 117—118.
- [2] Луцив Р. В., Котерлин М. Д., Бабич О. И. // ФТТ. 1984. Т. 26. № 6. С. 1781—1785.
- [3] Котерлин М. Д., Бабич О. И., Луцив Р. В., Немошканенко В. В., Николаев Л. И., Ющенко А. В. // Препринт ИМФ. Киев, 1986. В. 11. 24 с.
- [4] Котерлин М. Д., Бабич О. И., Морохивский Б. С., Николаев Л. И., Ющенко А. В. // Препринт ИМФ. Киев, 1987. В. 15. 28 с.
- [5] Котерлин М. Д., Бабич О. И., Морохивский Б. С., Конык М. Б., Луцив Р. В. // ФТТ. 1988. Т. 30. № 5. С. 1512—1515.

Львовский государственный  
университет им. И. Франко  
Львов

Поступило в Редакцию  
3 мая 1989 г.

УДК 535.215 : 537.868

Физика твердого тела, том 31, в. 10, 1989  
Solid State Physics, vol. 31, N 10, 1989

#### СТИМУЛИРОВАННАЯ $\gamma$ - И УФ-ИЗЛУЧЕНИЕМ ФОТОПРОВОДИМОСТЬ МОНОКРИСТАЛЛОВ Bi<sub>4</sub>Ge<sub>3</sub>O<sub>12</sub>

B. A. Гусев, С. И. Деменко, С. А. Петров

Кристаллы ортогерманата висмута Bi<sub>4</sub>Ge<sub>3</sub>O<sub>12</sub> (BGO) со структурой эвлитина используются как эффективные сцинтилляторы ионизирующих излучений. В настоящей работе рассмотрено влияние  $\gamma$ - и ультрафиолетового (УФ) облучения на фотопроводимость (ФП) BGO.

Монокристаллы BGO выращивались методом Чохральского в платиновых тиглях, были бесцветными и не имели видимых дефектов. На исследуемые образцы размерами 15×15×1 мм наносились прозрачные электроды и охранные кольца из In<sub>2</sub>O<sub>3</sub>+9%SnO<sub>2</sub> методом ВЧ-распыления. Облучение образцов производилось от источника Co<sup>60</sup> с мощностью дозы 32 R/c.